

用天然石英粉制备氮氧化硅粉末^①

闫玉华 欧阳世翕 王思青 张军 查从济
(武汉工业大学新材料研究所, 武汉 430070)

摘要 以天然石英粉为原料, 先进行活化预处理, 然后在 1350 °C 左右进行碳热还原氮化, 制备了氮氧化硅粉末。实验结果表明: 氮化过程中 SiO₂ 的转化率及产物中氮氧化硅(Si₂N₂O)的含量与 SiO₂ 的活化程度、氮化温度及添加剂等因素有关, 其中氮化温度以 1350 °C 为佳; 随着 SiO₂ 活化程度的提高, 其转化率也提高; 添加少量的 SrO, 可以进一步提高 SiO₂ 的转化率。此外, 还分析了 Sr-O-C-N 系统中气体分压对 Si₂N₂O 形成的影响。

关键词 氮氧化硅 石英 粉末 制备 碳热还原

氮氧化硅材料具有良好的耐熔融硅酸盐和非金属液浸蚀、高的抗氧化能力及抗热震性等性能, 是一种优良的耐火材料。同时, 也是一种很有潜力的工程结构材料^[1-4]。但是到目前为止, 在国内还未发现对 Si₂N₂O 研究的报道, 国外有关这方面的研究也并不多。在氮氧化硅制备方面, 国外学者^[3, 5]一般都是基于反



来进行研究的, 但这样得到的 Si₂N₂O 通常是陶瓷块体材料, 而不是粉末。本工作的目的是试图用廉价的天然石英粉制备出性能良好的 Si₂N₂O 粉末, 并探讨它在工业化应用上的可能性。

1 实验方法

用具有不同活化程度的 SiO₂ 粉(经过对 38 μm(400 目)的天然石英粉活化预处理所得)与活性碳粉(平均粒径 35.6 μm)按 SiO₂: C= 1: 3 配料, 同时添加少量的 SrO。将混匀后的配料盛于壁上带有许多小孔的石墨罐中, 然后将其置于热压炉中在一定温度下保温 15 h。氮气

(工业纯) 流量保持在 1.5 L/min。氮化产物在 700 °C 的大气中煅烧 5 h, 以除去残余的碳粉。最后将试样进行 XRD 定性分析。

2 结果与分析

表 1 列出了制备 Si₂N₂O 粉末的条件及结果。图 1 是具有不同活化程度的 SiO₂ 的 XRD 图谱。

表 1 合成 Si₂N₂O 的条件及结果

试样	SiO ₂ : C 摩尔比	SiO ₂ 来源	SrO 用量/%	温度 / °C	产物 主晶相
3#	1: 3	2#	2	1380	Si ₂ N ₂ O
4#	1: 3	1#	2	1380	方石英
5#	1: 3	2#	2	1350	Si ₂ N ₂ O
6#	1: 3	2#	0	1350	方石英
7#	1: 3	2#	2	1320	方石英

反应过程中氮气流量始终为 1.5 L/min。

2.1 SiO₂ 活化程度对氮化产物的影响

图 2 是碳热还原产物的 XRD 图谱, 可见, 3# 样中的主晶相是 Si₂N₂O, 而 4# 样中的主晶相是方石英。结合表 1, 制备 3# 和 4# 样的条件差别仅仅是使用了具有不同活化程度的

① 国家自然科学基金资助项目(29401005) 收稿日期: 1997-03-12; 修回日期: 1997-06-10

闫玉华, 女, 52岁, 教授

SiO_2 , 前者使用的 SiO_2 的活化程度要高于后者(见图 1)。由于 SiO_2 活化程度提高, 即反应活性高, 反应过程中分子的有效碰撞几率增大, 从而提高了 SiO_2 的转化率。另外, 作者的实验证明, 用天然石英粉即 0# 样直接进行碳热还原氮化, 即使在更高的温度($> 1400^\circ\text{C}$)和更大的 N_2 流量($> 1.5 \text{ L/min}$)下保温更长的时间(20 h), SiO_2 的转化率仍很低, 仅有极少量的 $\text{Si}_2\text{N}_2\text{O}$ 生成。

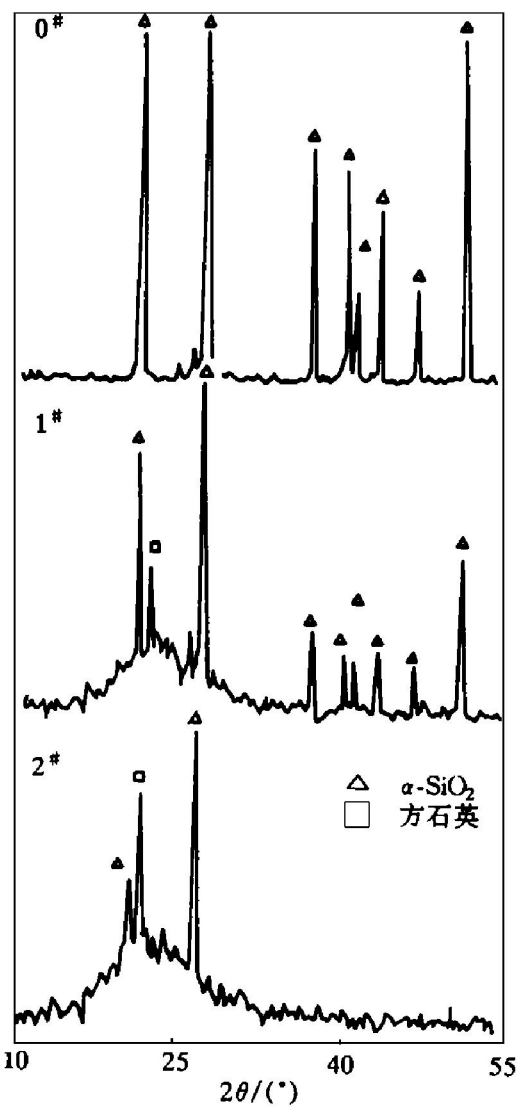


图 1 具有不同活化程度的 SiO_2 的 XRD 图谱

2.2 氮化温度对反应产物的影响

由表 1 和图 2 中的 3#、5# 和 7# 样的三张 XRD 图谱可知, 3# 和 5# 样的主晶相均为 $\text{Si}_2\text{N}_2\text{O}$, 且含量相当高, 同时, 二者均含有少量的 Si_3N_4 , 而 7# 样中的主晶相是方石英, 只

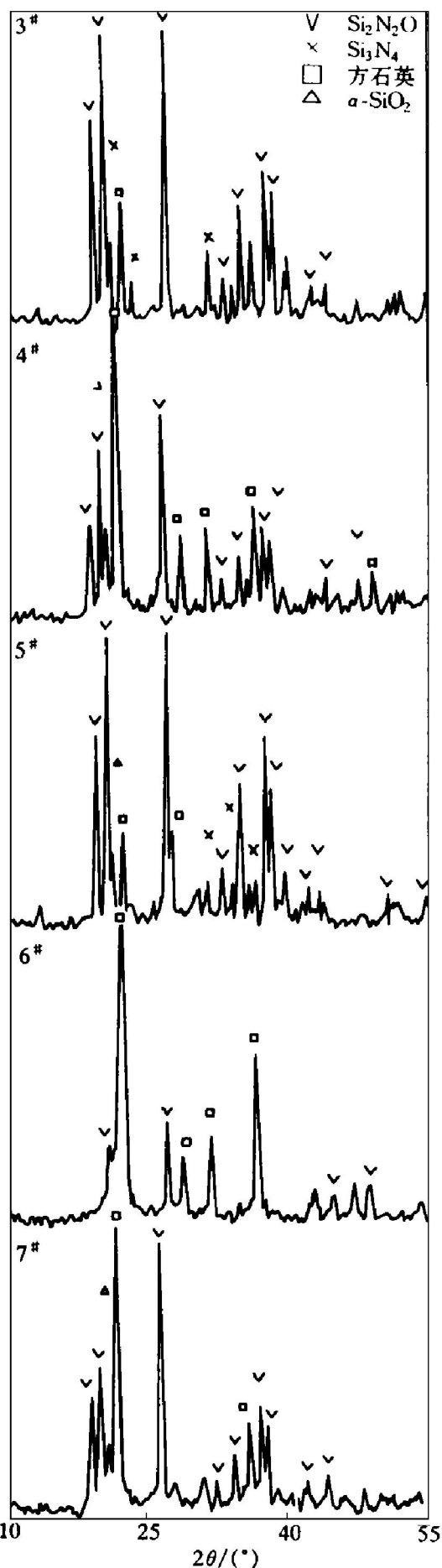


图 2 SiO_2 碳热还原氮化产物的 XRD 图谱

有少量的 SiO_2 转化成了 $\text{Si}_2\text{N}_2\text{O}$ 。由于三者的合成条件中只有氮化温度不同, 因此, 其产物组成的差别显然是由氮化温度造成的。

表 2^[6]列出了 SrO-C-N 系统中可能存在的几个反应及其对应的自由焓变化的近似表达式, T_c 是 $\Delta G = 0$ 的临界值。表 2 中列出的生成 $\text{Si}_2\text{N}_2\text{O}$ 的临界温度为 1625 K, 与本文的实验结果近似。由于生成 $\text{Si}_2\text{N}_2\text{O}$ 的临界温度低于生成 Si_3N_4 、 SiC 的临界温度, 系统易生成 $\text{Si}_2\text{N}_2\text{O}$ 。但由于 SiO_2 活性的提高, 各 ΔG 和临界温度 T_c 值会有所下降, 因此, 在 1320 °C 时仍能生成 $\text{Si}_2\text{N}_2\text{O}$, 在 1350 °C 时有少量的 Si_3N_4 生成。

再考察图 3^[3], 它描述了 SrO-C-N 系统相的平衡与温度之间的关系。由图 3 可以看到: 在

表 2 单位摩尔 SiO_2 碳热还原反应
的自由焓变化

反应式	序号	$\Delta G / \text{kJ} \cdot \text{mol}^{-1}$	T / K
$\text{SiO}_2 + 2\text{C} + 2/3\text{N}_2 = 1/3\text{Si}_3\text{N}_4 + 2\text{CO}$	(2)	435.0 – 0.242 T	1800
$\text{SiO}_2 + 3/2\text{C} + 1/2\text{N}_2 = 1/2\text{Si}_2\text{N}_2\text{O} + 3/2\text{CO}$	(3)	261.8 – 0.161 T	1625
$\text{SiO}_2 + 3\text{C} = \text{SiC} + 2\text{CO}$	(4)	605.6 – 0.340 T	1780
$\text{SiO}_2 + \text{C} = \text{SiO} + \text{CO}$	(5)	688.7 – 0.344 T	2000

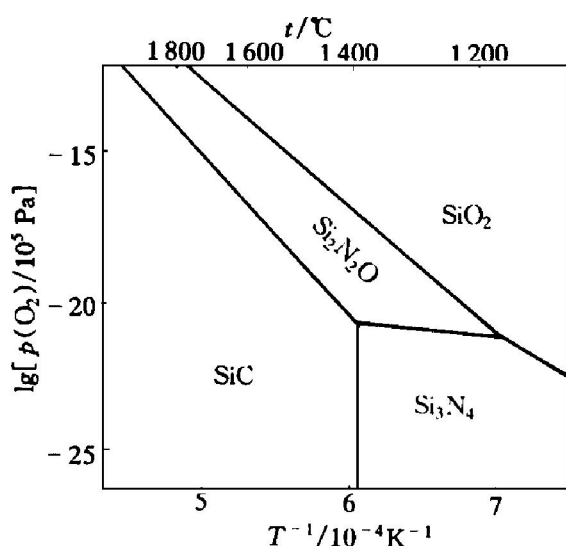


图 3 SrO-C-N 系统相平衡与
温度和 $p(\text{O}_2)$ 的关系

$$(\alpha_C = 1, p(\text{O}_2) = 100 \text{ kPa})$$

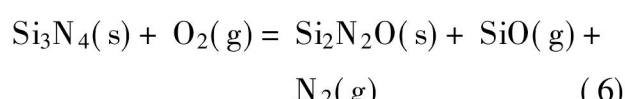
$p(\text{O}_2) = 10^{-15} \text{ Pa}$ 附近的 1200~1400 °C 温度范围内, $\text{Si}_2\text{N}_2\text{O}$ 和 Si_3N_4 可以共存, 而随着 $p(\text{O}_2)$ 的升高, $\text{Si}_2\text{N}_2\text{O}$ 成为稳定相。由此可以进一步解释图 2 中 3#、5# 和 7# 样的三张 XRD 图谱。

2.3 添加剂对氮化产物的影响

图 2 中 5# 和 6# 样的两张 XRD 图谱清楚地表明: SrO 对 SiO_2 的转化具有明显的影响。反应物中若未添加 SrO , 则反应产物大部分为没有反应的方石英; 而添加 SrO 后, 则产物中大部分为 $\text{Si}_2\text{N}_2\text{O}$, 只残存了极少量的方石英。这是因为 SrO 易与活性较高的非晶态 SiO_2 形成低共熔物^[5], 从而进一步提高了 SiO_2 的反应活性, 使 SiO_2 的转化率大大提高。

2.4 气体分压对氮化产物的影响

在 SrO-C-N 系统中 $\text{Si}_2\text{N}_2\text{O}$ 和 Si_3N_4 之间还存在如下平衡转换关系^[8]:



$$\text{则 } \lg K = \lg [\alpha(\text{Si}_2\text{N}_2\text{O}) / \alpha(\text{Si}_3\text{N}_4)] + \lg [(p(\text{SiO})p(\text{N}_2) / p(\text{O}_2))]$$

由于 $\text{Si}_2\text{N}_2\text{O}$ 和 Si_3N_4 不能形成固溶体, 因此在 $\lg K$ 的表达式中, $\lg [\alpha(\text{Si}_2\text{N}_2\text{O}) / \alpha(\text{Si}_3\text{N}_4)]$ 的大小有三种情形:

1) $\text{Si}_2\text{N}_2\text{O}$ 和 Si_3N_4 两相平衡, 则

$$\lg [\alpha(\text{Si}_2\text{N}_2\text{O}) / \alpha(\text{Si}_3\text{N}_4)]_{\text{平衡}} = 0$$

2) $\text{Si}_2\text{N}_2\text{O}$ 是唯一稳定相, 则

$$\lg [\alpha(\text{Si}_2\text{N}_2\text{O}) / \alpha(\text{Si}_3\text{N}_4)]_2 > 0$$

3) Si_3N_4 是唯一稳定相, 则

$$\lg [\alpha(\text{Si}_2\text{N}_2\text{O}) / \alpha(\text{Si}_3\text{N}_4)]_3 < 0$$

若为第一种情形, 则

$$\lg K = \lg [p(\text{SiO})p(\text{N}_2) / p(\text{O}_2)]_{\text{平衡}}$$

$$\text{若为第二种情形, 则 } \lg [p(\text{SiO})p(\text{N}_2) / p(\text{O}_2)]_2 = \lg K - \lg [\alpha(\text{Si}_2\text{N}_2\text{O}) / \alpha(\text{Si}_3\text{N}_4)]_2$$

$$\text{亦即有: } \lg [p(\text{SiO})p(\text{N}_2) / p(\text{O}_2)]_2 < \lg K =$$

$$\lg [p(\text{SiO})p(\text{N}_2) / p(\text{O}_2)]_{\text{平衡}}$$

若欲抑制 Si_3N_4 的生成, 使 $\text{Si}_2\text{N}_2\text{O}$ 成为唯一稳定相, 即对应第二种情形, 则应有

$$\lg [(p(\text{SiO})p(\text{N}_2) / p(\text{O}_2))]_2 <$$

$$\lg[p(\text{SiO})p(\text{N}_2)/p(\text{O}_2)]_{\text{平衡}}$$

因此, 应当适当增大 $p(\text{O}_2)$ 或减小 $p(\text{N}_2)$ 。反应时若增大 $p(\text{N}_2)$, 则会使 Si_3N_4 稳定存在, 这与从图 3 得出的结论一致。事实上, 我们的实验发现, 若石墨罐敞口于热压炉中, 则在除碳前的料层表面常带有零星的白色 Si_3N_4 晶须团; 若石墨罐闭口于热压炉中, 则在除碳前的料层表面常完整地覆盖一层薄薄的 Si_3N_4 晶须。由于 N_2 是由表及里地渗入反应料层中的, 同时, N_2 又是流动的, 因此料层表面的 $p(\text{N}_2)$ 必然大于料层内部的 $p(\text{N}_2)$, 从而有利于 Si_3N_4 的生成。但当石墨罐敞口于热压炉中时, 则料层表面的 SiO 气体会被 N_2 流动带走, 降低了 $p(\text{SiO})$, 因而也难于生成 Si_3N_4 。

3 结论

- (1) 在反应物中添加少量的 SrO , 可以促进 SiO_2 在反应过程中的氮化转化。
- (2) 在有 SrO 存在的条件下, SiO_2 的活性的高低对其碳热还原氮化产物有很大影响, 提高其活性, 可以明显提高其转化率。

PREPARATION OF $\text{Si}_2\text{N}_2\text{O}$ POWDER FROM NATURAL QUARTZ POWDER

Yan Yuhua, Ouyang Shixi, Wang Siqing, Zhang Jun, Zha Chongji
*Advanced Materials Research Institute,
Wuhan University of Technology, Wuhan 430070*

ABSTRACT At 1350 °C or so, $\text{Si}_2\text{N}_2\text{O}$ powder had been prepared by the carbothermal reduction and nitridation of natural quartz which had been activated. The results showed that the conversion ratio of SiO_2 during the reacting process and the content of $\text{Si}_2\text{N}_2\text{O}$ in the product depend on various factors, such as the activated degree of natural quartz, the temperature and the additive, and 1350 °C is a suitable temperature for the synthesis of $\text{Si}_2\text{N}_2\text{O}$; the conversion ratio of SiO_2 can be increased by increasing the activated degree of natural quartz, it can be further increased by the additive SrO . At the same time, the effects of $p(\text{N}_2)$, $p(\text{SiO})$ and $p(\text{O}_2)$ on the composition of the $\text{Si}-\text{O}-\text{C}-\text{N}$ were discussed.

Key words $\text{Si}_2\text{N}_2\text{O}$ quartz powder preparation carbothermal reduction

(3) 1350~1380 °C 的温度范围有利于 $\text{Si}_2\text{N}_2\text{O}$ 的生成, 低于此范围则 SiO_2 的转化率明显下降。

(4) 反应系统中的气体分压对产物的组成有明显的影响。降低 $p(\text{N}_2)$ 、提高 $p(\text{SiO})$ 和 $p(\text{O}_2)$, 有利于 $\text{Si}_2\text{N}_2\text{O}$ 的稳定存在, 同时可抑制 Si_3N_4 的形成。

参考文献

- 1 Boch P, Glandus J C. *J Mat Sci*, 1979, 14: 379~383.
- 2 Washburn Malcom E. *J Am Ceram Soc*, 1967, 46(7): 667~671.
- 3 Bergman B, Huang H P. *J Europ Ceram Soc*, 1990, 6: 3~8.
- 4 O'Meara J C, Sjöberg J and Doulop G et al. *J Europ Ceram Soc*, 1991, 7: 369~378.
- 5 Ohashi M, Kanzaki S and Tabata H. *J Mat Sci*, 1991, 26: 2608~2614.
- 6 Bolech M et al. In: Vincenzini P ed, *High Tech Ceramics*. Amsterdam: Elsevier Science Publishers, 1987: 527~533.
- 7 Wada H, Wang M J and Tien Y Y. *J Am Ceram Soc*, 1984, 67(10): 691~695.
- 8 Wada H. *J Mat Sci*, 1991, 26: 2590~2594.

(编辑 彭超群)